

LINTASAN 1

NO	X_REAL	Y_REAL	Z_REAL	NO	X_REAL	Y_REAL	Z_REAL
A01	609707.721	9796384.052	18.982	A26	609791.882	9795891.145	18.074
A02	609709.944	9796362.229	19.664	A27	609795.518	9795872.617	18.991
A03	609713.647	9796344.101	19.906	A28	609799.015	9795852.654	18.781
A04	609716.818	9796325.440	20.225	A29	609803.317	9795831.920	20.092
A05	609720.464	9796305.499	20.279	A30	609806.383	9795812.745	20.566
A06	609724.046	9796285.355	20.933	A31	609810.004	9795794.137	19.780
A07	609727.401	9796265.567	20.368	A32	609812.863	9795773.290	18.907
A08	609730.591	9796246.653	20.093	A33	609816.289	9795753.041	19.139
A09	609734.512	9796226.154	19.945	A34	609819.996	9795734.046	19.673
A10	609738.915	9796207.678	19.746	A35	609824.097	9795714.242	19.813
A11	609740.793	9796187.251	20.145	A36	609826.294	9795694.646	20.208
A12	609744.058	9796167.267	19.860	A37	609829.947	9795674.820	21.595
A13	609747.897	9796147.307	19.544	A38	609833.723	9795655.425	21.968
A14	609750.747	9796128.804	19.644	A39	609836.858	9795635.274	22.229
A15	609754.073	9796107.787	19.914	A40	609840.194	9795614.811	20.404
A16	609757.888	9796088.588	18.984	A41	609843.748	9795595.919	20.497
A17	609761.479	9796068.580	19.236	A42	609847.285	9795576.114	20.121
A18	609764.389	9796049.088	19.172	A43	609850.468	9795556.772	23.280
A19	609768.316	9796029.818	19.040	A44	609854.153	9795536.397	25.268
A20	609771.611	9796009.434	19.129	A45	609857.370	9795516.940	22.699
A21	609774.853	9795989.713	19.166	A46	609860.917	9795497.344	23.326
A22	609778.835	9795970.229	19.205	A47	609864.497	9795477.526	23.773
A23	609782.271	9795950.466	19.118	A48	609867.761	9795458.007	23.785
A24	609785.283	9795930.972	18.966	A49	609871.163	9795436.769	24.020
A25	609789.210	9795911.231	19.002				

LINTASAN 2

NO	X_REAL	Y_REAL	Z_REAL	NO	X_REAL	Y_REAL	Z_REAL
B17	609499.734	9796112.777	18.119	B41	609570.932	9795635.796	20.793
B18	609504.669	9796092.940	18.039	B42	609574.998	9795617.377	20.417
B19	609508.251	9796073.437	18.188	B43	609578.691	9795598.481	19.798
B20	609510.474	9796054.053	18.136	B44	609581.644	9795578.480	19.946
B21	609514.029	9796034.007	18.906	B45	609583.884	9795558.466	22.708
B22	609515.914	9796013.321	18.727	B46	609585.857	9795539.161	22.973
B23	609518.884	9795994.644	19.513	B47	609589.273	9795519.227	22.088
B24	609522.318	9795974.406	19.334	B48	609592.941	9795499.654	21.942
B25	609525.099	9795954.625	18.824	B49	609592.948	9795479.607	22.029
B26	609527.991	9795934.713	18.979	B50	609598.389	9795459.653	22.341
B27	609531.080	9795914.813	20.013	B51	609601.635	9795440.406	22.429
B28	609533.547	9795895.441	18.557	B52	609604.305	9795420.456	22.399
B29	609536.467	9795875.307	19.367	B53	609607.121	9795401.357	22.537
B30	609539.595	9795855.972	20.362	B54	609610.244	9795381.252	22.306
B31	609542.216	9795835.451	20.405	B55	609613.248	9795360.831	22.178
B32	609546.442	9795815.785	20.756	B56	609615.998	9795341.713	22.354
B33	609548.005	9795795.477	21.301	B57	609618.867	9795322.263	21.955
B34	609552.094	9795776.578	21.976	B58	609622.307	9795302.07	21.687
B35	609554.396	9795756.429	22.402	B59	609625.329	9795282.254	21.676
B36	609557.509	9795736.874	21.874	B60	609628.304	9795262.87	21.652
B37	609560.260	9795716.541	22.379	B61	609631.717	9795243.609	21.647
B38	609564.193	9795697.297	22.458	B62	609635.556	9795223.236	21.273
B39	609566.196	9795677.615	22.924	B63	609638.915	9795203.321	20.977
B40	609569.783	9795657.432	22.022				

LINTASAN 3

NO	X_REAL	Y_REAL	Z_REAL	NO	X_REAL	Y_REAL	Z_REAL
C01	607921.407	9796210.009	11.632	C48	608863.031	9796218.580	12.775
C02	607942.391	9796210.347	11.753	C49	608881.243	9796219.071	13.682
C03	607962.892	9796210.526	11.427	C50	608901.644	9796219.297	14.125
C04	607981.785	9796210.385	10.925	C51	608921.714	9796219.548	13.969
C05	608001.819	9796210.519	11.606	C52	608941.770	9796219.736	14.559
C06	608022.245	9796210.294	11.269	C53	608961.379	9796219.971	14.898
C07	608041.482	9796210.518	11.397	C54	608981.515	9796220.200	16.055
C08	608061.892	9796210.816	10.850	C55	609001.161	9796220.359	15.386
C09	608081.321	9796210.860	10.948	C56	609021.449	9796220.562	15.701
C10	608100.860	9796210.933	10.700	C57	609041.707	9796220.871	15.173
C11	608120.848	9796210.792	10.236	C58	609061.109	9796220.994	15.673
C12	608141.129	9796211.458	10.761	C59	609081.224	9796221.517	17.383
C13	608161.255	9796211.635	10.060	C60	609101.681	9796221.300	18.099
C14	608180.957	9796211.756	10.334	C61	609121.175	9796221.326	17.497
C15	608200.911	9796211.931	10.703	C62	609141.937	9796221.912	17.236
C16	608221.179	9796212.188	11.074	C63	609162.124	9796222.129	16.604
C17	608240.823	9796212.380	10.935	C64	609181.294	9796222.350	17.362
C18	608261.023	9796212.601	11.109	C65	609201.444	9796222.510	17.511
C19	608281.284	9796212.761	10.991	C66	609221.035	9796222.684	16.504
C20	608301.476	9796213.065	10.497	C67	609241.632	9796222.964	16.959
C21	608321.268	9796213.231	10.796	C68	609261.126	9796223.273	17.863
C22	608339.898	9796213.345	11.024	C69	609281.314	9796223.601	17.368
C23	608360.018	9796213.579	11.437	C70	609301.576	9796223.719	16.326
C24	608379.845	9796213.862	12.328	C71	609321.839	9796224.123	17.208
C25	608400.086	9796214.099	11.972	C72	609343.579	9796225.295	16.139
C26	608420.811	9796214.477	11.810	C73	609362.189	9796231.634	17.014
C27	608441.180	9796214.587	10.862	C74	609381.487	9796234.274	16.976
C28	608461.437	9796214.858	13.338	C75	609401.315	9796225.024	17.028
C29	608481.484	9796215.028	13.915	C76	609421.487	9796225.136	17.903
C30	608499.179	9796223.386	11.884	C77	609441.200	9796225.338	17.747
C31	608519.875	9796224.651	12.353	C78	609461.255	9796225.712	18.339
C32	608542.094	9796215.769	11.767	C79	609481.696	9796225.720	18.043
C33	608561.375	9796215.803	15.519	C80	609501.510	9796226.027	18.233
C34	608581.229	9796213.167	15.047	C81	609521.608	9796226.246	18.431
C35	608601.817	9796216.460	11.484	C82	609541.095	9796226.507	18.684
C36	608621.769	9796216.484	11.563	C83	609561.181	9796226.744	19.126
C37	608645.537	9796217.632	13.138	C84	609581.299	9796226.988	19.383

C38	608665.463	9796207.572	13.570	C85	609601.548	9796227.124	19.420
C39	608681.571	9796217.205	13.021	C86	609621.384	9796227.373	19.547
C40	608700.977	9796217.647	12.384	C87	609641.536	9796227.545	19.869
C41	608722.196	9796217.678	11.912	C88	609661.279	9796227.915	19.981
C42	608742.809	9796207.172	13.661	C89	609681.377	9796227.924	20.490
C43	608762.091	9796210.387	16.136	C90	609701.235	9796228.185	20.072
C44	608781.522	9796218.273	17.522	C91	609721.902	9796228.57	19.374
C45	608801.163	9796218.422	14.333	C92	609741.523	9796228.634	21.019
C46	608821.337	9796218.734	13.844	C93	609759.267	9796228.827	26.202
C47	608840.016	9796218.216	13.808				



LINTASAN 4

NO	X_REAL	Y_REAL	Z_REAL	NO	X_REAL	Y_REAL	Z_REAL
D21	608321.183	9796054.119	9.991	D60	609100.804	9796065.560	16.610
D22	608340.536	9796054.324	10.206	D61	609120.264	9796065.780	16.537
D23	608360.586	9796054.339	10.289	D62	609140.635	9796066.101	16.458
D24	608380.633	9796054.805	10.519	D63	609160.695	9796066.104	16.496
D25	608400.481	9796055.269	11.696	D64	609179.891	9796066.164	16.767
D26	608419.886	9796056.026	12.850	D65	609200.309	9796066.992	16.671
D27	608441.170	9796055.979	13.945	D66	609220.453	9796067.256	16.597
D28	608460.540	9796056.798	14.370	D67	609240.789	9796067.657	16.681
D29	608480.312	9796057.747	14.976	D68	609260.399	9796067.833	16.800
D30	608500.822	9796058.690	12.936	D69	609279.908	9796068.166	17.911
D31	608521.018	9796058.825	13.228	D70	609300.598	9796068.365	17.693
D32	608541.758	9796058.806	12.998	D71	609320.655	9796067.994	16.706
D33	608555.358	9796058.717	12.861	D72	609339.739	9796068.410	17.778
D34	608580.151	9796058.817	15.133	D73	609360.131	9796068.804	17.092
D35	608601.361	9796058.839	14.059	D74	609379.636	9796069.172	17.300
D36	608621.044	9796058.707	13.962	D75	609400.147	9796069.495	17.089
D37	608640.785	9796058.915	14.150	D76	609420.566	9796069.996	17.309
D38	608661.108	9796059.045	15.794	D77	609439.810	9796070.310	17.249
D39	608680.809	9796059.639	17.013	D78	609459.437	9796070.650	17.630
D40	608700.705	9796060.326	15.910	D79	609480.032	9796070.821	17.597
D41	608720.588	9796060.541	15.632	D80	609500.324	9796071.316	17.467
D42	608740.968	9796060.650	15.151	D81	609520.047	9796071.367	17.592
D43	608760.158	9796060.879	13.944	D82	609540.003	9796071.804	17.506
D44	608780.792	9796060.884	14.506	D83	609560.693	9796073.081	19.210
D45	608800.282	9796060.992	15.110	D84	609580.892	9796072.576	18.417
D46	608820.344	9796061.415	13.865	D85	609601.008	9796072.759	18.615
D47	608840.387	9796061.695	14.198	D86	609620.583	9796072.826	19.014
D48	608860.235	9796062.013	14.026	D87	609640.872	9796073.184	18.787
D49	608881.197	9796062.332	13.821	D88	609660.499	9796073.508	19.081
D50	608899.568	9796065.147	14.083	D89	609681.190	9796073.892	19.105
D51	608920.647	9796063.084	14.084	D90	609700.216	9796073.853	19.082
D52	608940.285	9796063.180	15.537	D91	609720.123	9796074.441	19.118
D53	608960.338	9796063.516	16.231	D92	609740.671	9796074.726	19.079
D54	608980.819	9796063.679	16.362	D93	609760.348	9796075.230	18.814
D55	609000.520	9796064.045	16.225	D94	609781.295	9796074.767	19.600
D56	609021.232	9796064.421	15.987	D95	609799.830	9796075.650	19.302
D57	609039.778	9796064.853	16.049	D96	609820.344	9796075.676	19.498

D58	609060.304	9796064.899	16.268	D97	609840.131	9796075.948	20.893
D59	609079.997	9796065.392	16.356	D98	609856.448	9796076.365	19.643



LINTASAN 5

NO	X_REAL	Y_REAL	Z_REAL	NO	X_REAL	Y_REAL	Z_REAL
E01	608452.879	9795805.467	13.630	E36	609145.808	9795823.597	17.534
E02	608472.296	9795804.941	12.591	E37	609165.911	9795824.195	17.891
E03	608492.180	9795804.215	12.825	E38	609186.056	9795824.351	17.310
E04	608508.858	9795806.175	12.338	E39	609205.814	9795824.354	16.994
E05	608531.633	9795809.773	12.945	E40	609225.868	9795824.896	17.045
E06	608551.372	9795810.805	13.797	E41	609245.195	9795825.107	17.236
E07	608567.999	9795810.317	13.735	E42	609265.779	9795825.806	17.456
E08	608590.902	9795814.693	14.994	E43	609285.617	9795826.230	17.496
E09	608607.765	9795823.918	15.356	E44	609306.098	9795826.611	17.328
E10	608626.383	9795815.022	14.324	E45	609325.559	9795827.014	17.382
E11	608648.499	9795816.384	14.995	E46	609345.781	9795827.081	17.169
E12	608665.133	9795815.059	15.214	E47	609365.820	9795827.006	17.436
E13	608689.901	9795813.378	15.983	E48	609385.531	9795827.698	17.905
E14	608705.501	9795818.408	16.159	E49	609405.716	9795827.608	18.253
E15	608725.883	9795821.979	15.330	E50	609424.934	9795827.767	18.507
E16	608747.584	9795818.863	16.812	E51	609445.573	9795828.177	18.939
E17	608768.428	9795819.880	17.212	E52	609465.588	9795828.476	19.758
E18	608787.146	9795817.818	18.386	E53	609485.954	9795828.331	20.711
E19	608810.485	9795817.747	18.577	E54	609505.125	9795829.261	20.867
E20	608834.301	9795808.660	17.031	E55	609525.526	9795829.299	20.114
E21	608853.442	9795805.323	16.511	E56	609545.272	9795829.572	20.819
E22	608871.328	9795813.267	17.511	E57	609566.058	9795829.666	21.738
E23	608888.112	9795819.700	19.618	E58	609585.656	9795830.013	22.521
E24	608905.661	9795820.334	17.902	E59	609605.419	9795830.307	22.628
E25	608926.227	9795820.155	18.035	E60	609625.295	9795830.236	22.322
E26	608946.128	9795820.631	17.973	E61	609645.369	9795830.741	22.194
E27	608965.738	9795821.303	17.919	E62	609665.778	9795831.298	21.077
E28	608985.918	9795821.484	17.654	E63	609686.185	9795830.441	20.401
E29	609006.171	9795821.742	17.698	E64	609705.380	9795830.999	20.673
E30	609025.589	9795821.930	17.629	E65	609725.294	9795832.183	20.368
E31	609046.145	9795822.406	17.411	E66	609745.264	9795832.155	20.747
E32	609065.403	9795822.396	17.236	E67	609765.175	9795832.543	20.112
E33	609085.582	9795822.946	17.445	E68	609782.460	9795831.918	20.162
E34	609105.415	9795823.154	17.491	E69	609802.647	9795831.777	20.121
E35	609126.033	9795823.424	17.460				

LAMPIRAN A

KOORDINAT LINTASAN



The background of the page features a large, light blue watermark of the Universitas Bangka Belitung logo. The logo is circular and contains a stylized yellow and blue emblem in the center, surrounded by the text 'UNIVERSITAS BANGKA BELITUNG' in a circular arrangement.

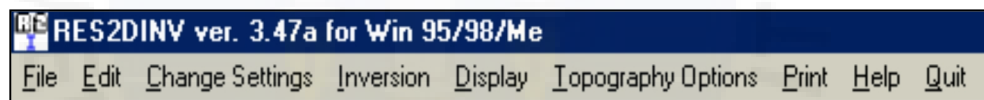
LAMPIRAN B

TAHAPAN PENGOLAHAN
SOFTWARE RES2DINV

Tahapan Pengolahan Data

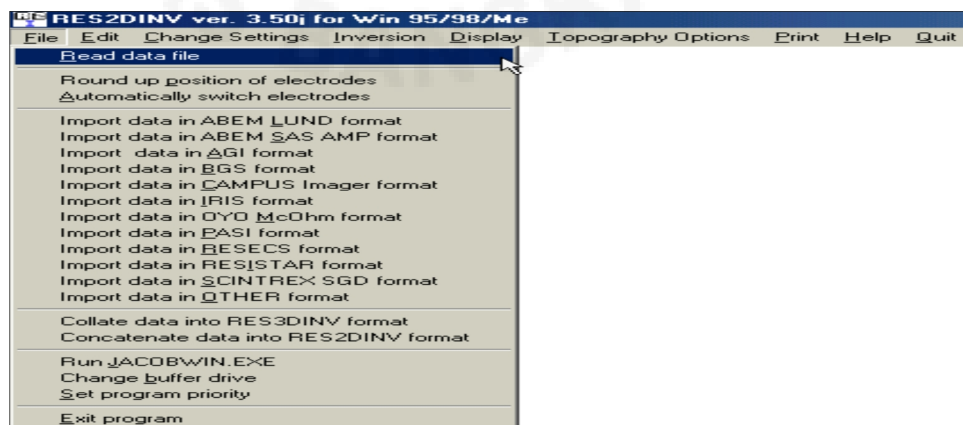
Pengolahan data bertujuan untuk mendapatkan parameter nilai resistivitas dari data lapangan. Pengolahan data ini disebut proses inversi. Proses inversi data ini menggunakan *software* Res2DINV sebagai salah satu program komputer yang secara otomatis dalam menentukan model resistivitas 2 dimensi dari hasil pengolahan data. Hasil yang diperoleh berupa model penampang 2D (2 Dimensi) bawah permukaan. Program ini didesain untuk inversi data yang besar (sekitar 200-21000 data point) dengan banyak elektroda (25-16.000 buah elektroda). Model penampang 2D digunakan dalam program inverse dengan sejumlah *rectangular blocks*. Perancangan *blocks* diusahakan distribusi dari point data *pseudosection*. Kedalaman dari baris bawah *block* diperkirakan sama dengan kedalaman investigasi dari *point* data dengan spasi elektroda yang tinggi (Edward, 1997). Berikut ini langkah-langkah dalam proses pengolahan data geolistrik dengan menggunakan *software* Res2DINV :

- a. Membuka program; setelah memilih Res2DINV, maka akan tampil menu utama sebagai berikut:



Gambar 1 Menu utama RES2DINV

- b. Format data; pada saat membuka *file*, maka akan ada pilihan untuk membuka data yang akan dilakukan inversi. Dengan memilih sub menu *read date file*, maka program akan mengeluarkan data yang kita inginkan.



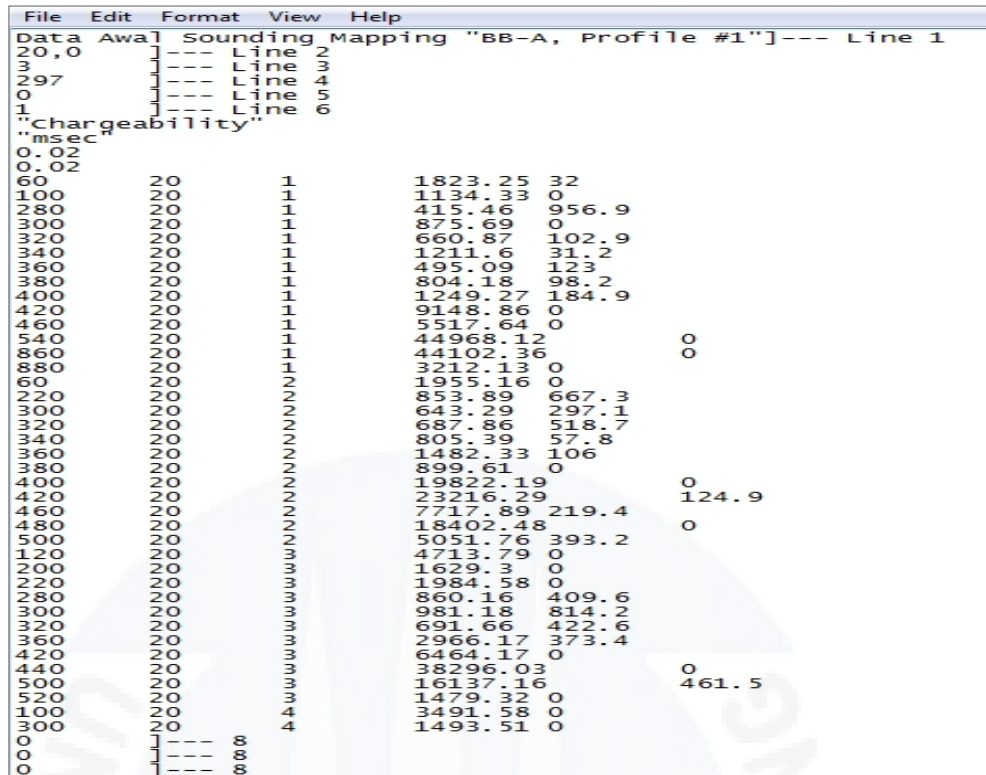
Gambar 2 Aplikasi saat membuka *file*

Data hasil survey geolistrik yang sudah diperoleh, disimpan dalam bentuk file *.dat yang tersusun dalam order dengan format data dalam bentuk *notepad*.

Tabell Data dalam bentuk *.dat format *notepad*

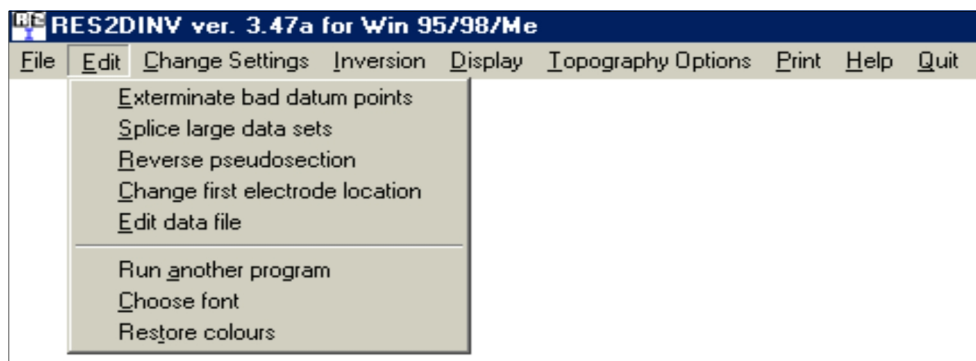
Bentuk Data	Keterangan
“X”	Nama lintasan survei
20	Spasi elektroda
3	Jenis konfigurasi (Wenner = 1, Pole-pole = 2, Dipole-dipole = 3, Pole-dipole = 6, Schlumberger = 7, Aquatorial dipole-dipole = 8)
297	Jumlah data
0	Lokasi titik pusat konfigurasi
1	Mengidentifikasi keberadaan IP
<i>Chargeability</i>	Tipe data IP
m.sec	<i>Unit IP</i>
0.02	<i>Delay time</i>
0.02	<i>Integration time</i>
Titik “X”	a n Rho app IP
60	20 1 1823.25 32
100	20 1 1134.33 0

Sumber: Pengolahan data lapangan

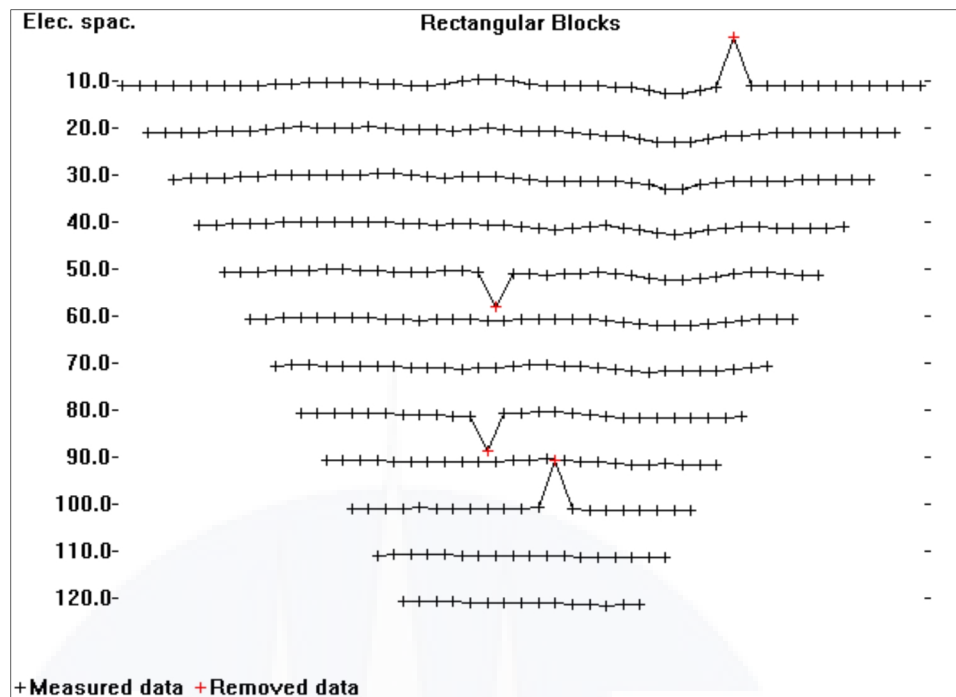


Gambar 3 Contoh data dalam bentuk notepad

- c. Edit data; saat membuka menu Edit, maka akan ada pilihan yaitu *exterminate bad datum point*. Pada pilihan ini, nilai *apparent resistivity* ditampilkan dalam bentuk profile untuk setiap level data. Pemeroses dapat menggunakan *mouse* untuk meremove data yang dianggap buruk. Tujuan utama adalah untuk membuang data resistivitas yang jelas-jelas salah. Seperti data yang buruk karena kesalahan *relay* pada elektroda pertama. Dengan memilih sub menu seperti dibawah ini, pemeroses akan dapat memulai mengedit data yang buruk.

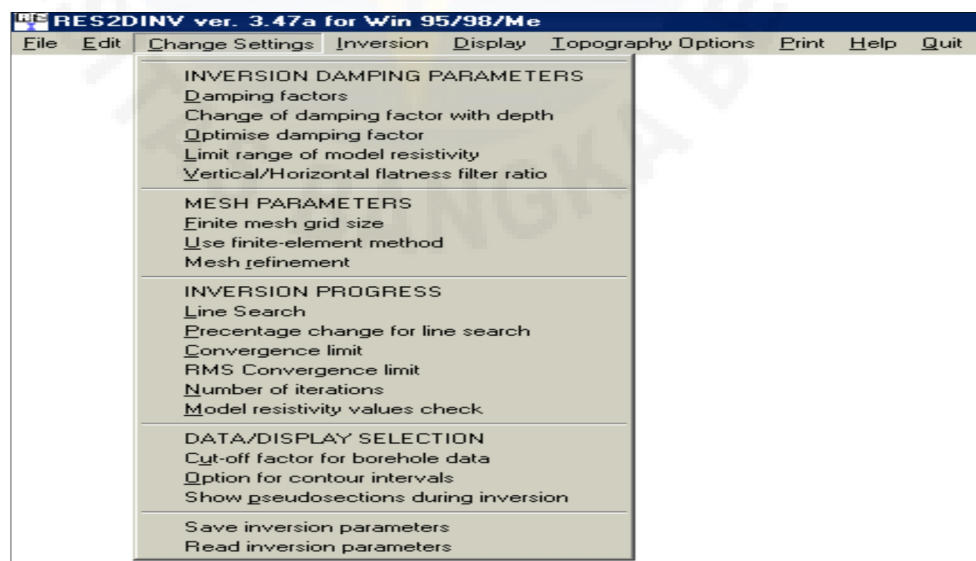


Gambar 4 Aplikasi membuka menu edit



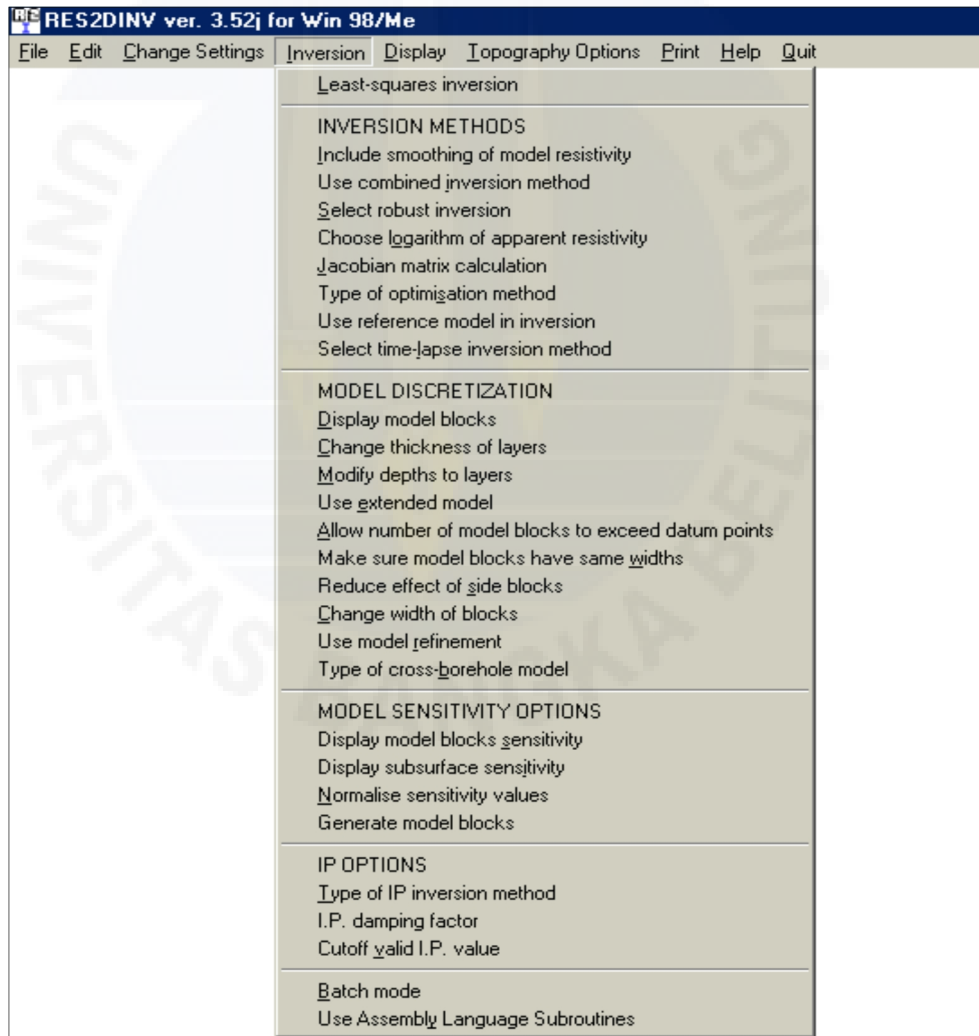
Gambar 5 Contoh cara mengedit data

- d. Merubah setting program; program memiliki setingan untuk faktor damping dan variable lainnya. Pada beberapa situasi, pemeroses akan mendapat hasil yang lebih baik dengan memodifikasi parameter yang mengontrol proses inversi. Ketika memilih pilihan *change settings*, list menu akan ditampilkan sebagai berikut.

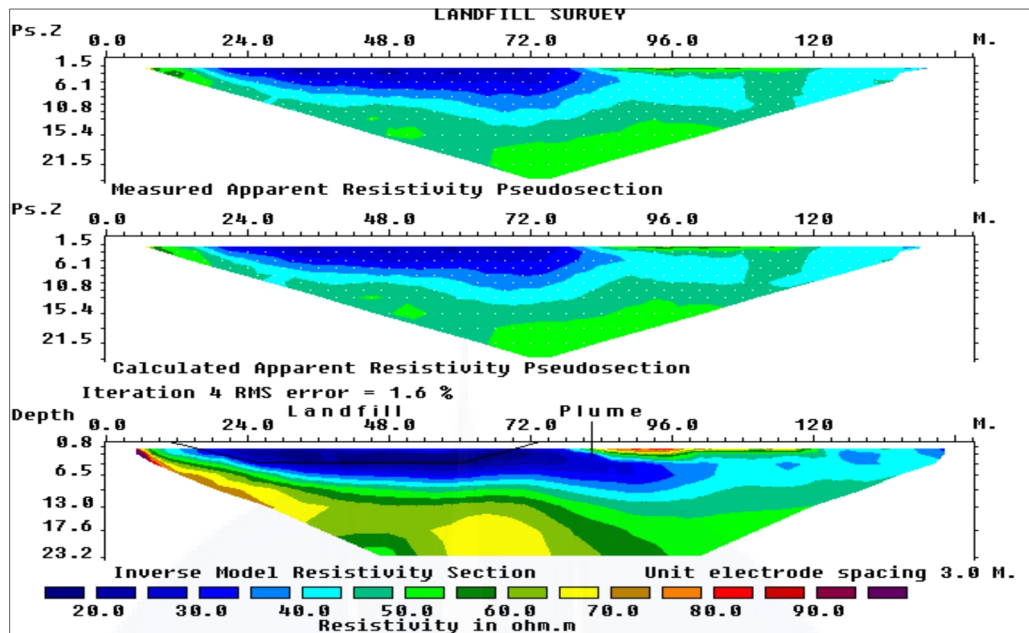


Gambar 6 Aplikasi menu *change setting*

- e. Pilihan *inverse*; pada tahapan ini akan dilakukan tahapan *inverse* untuk data yang sudah dibaca melalui pilihan *file*. Pemeroses dapat mengatur blok yang dipakainya oleh model *inverse*. Menu berikut yang akan ditampilkan. Pemeroses dapat memilih jenis *inverse* apa yang akan digunakan. Sekaligus memilih model *inverse* dan setingan yang dipakai. Sebelum memulai proses *inverse*, program akan meminta untuk menyimpan hasil *inverse* dalam bentuk *.INV*. Setelah disimpan, maka program akan melakukan *inverse* untuk data yang sudah terpilih di awal. Maka akan didapatkan *pseudosection* dari *measured apparent resistivity*, *calculated apparent resistivity* dan model 2D hasil *inverse*.

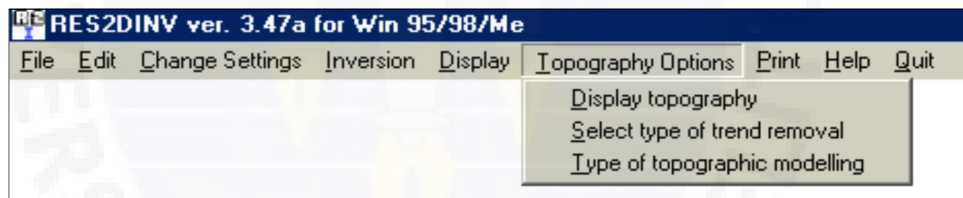


Gambar 7 Aplikasi membuka menu *inverse*

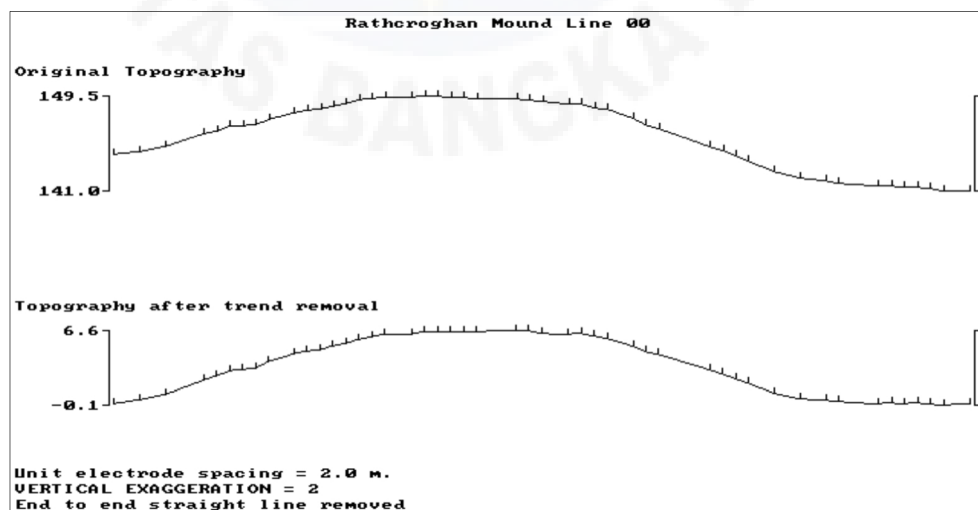


Gambar 8 Tampilan hasil inversi

Untuk menampilkan model topografi, cukup memilih menu *topography option*, maka akan tampil topografi data yang telah diinversi.



Gambar 9 Aplikasi membuka menu *topography option*

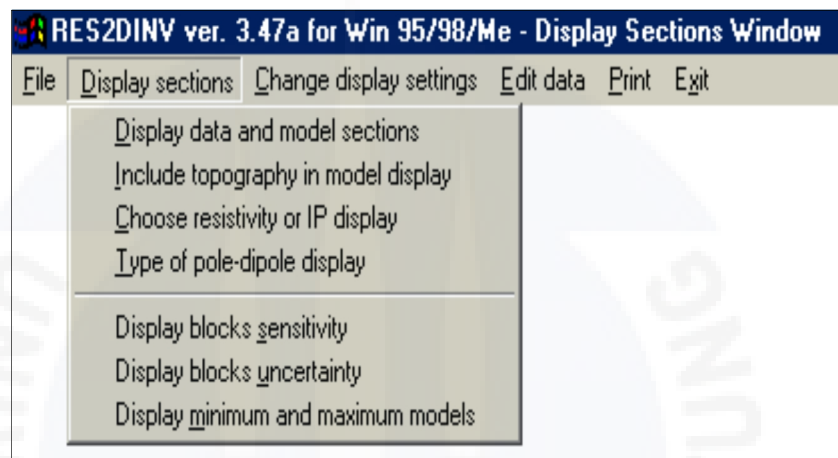


Gambar 10 Contoh tampilan topografi

Secara umum proses *inverse* data sudah selesai dan selanjutnya dapat melihat hasil 2D model resistivitas dan chargeabilitas dengan cara mendisplay hasil *inverse*. Dengan memilih menu *display*, maka akan tampil pilihan sebagai berikut:

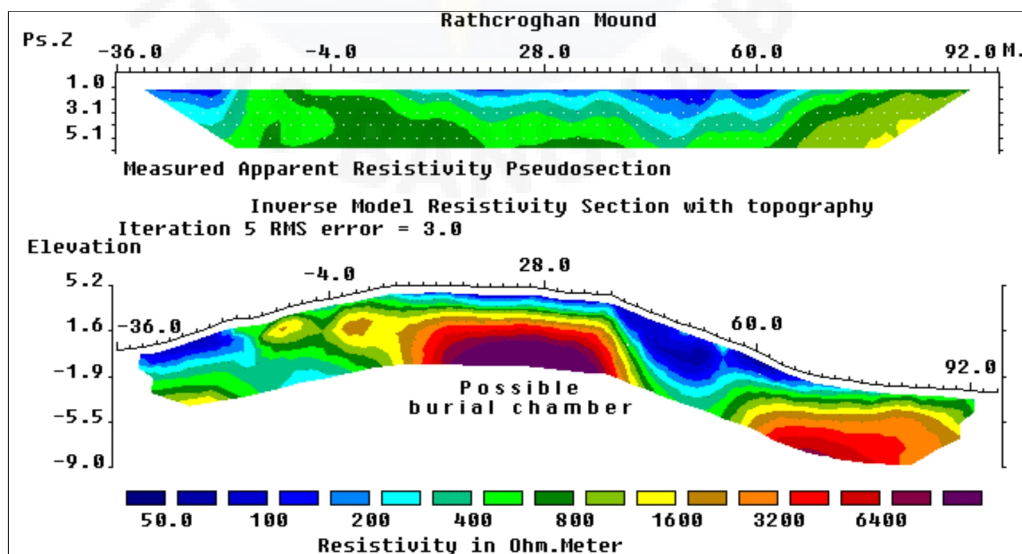


Gambar 11 Aplikasi membuka menu *display*



Gambar12 Aplikasi membuka menu *display sections*

Dengan memilih *display data and model sections*, maka akan tampil data dan model secara bersamaan sebagai berikut:



Gambar 13 Tampilan hasil *inverse* terhadap pengaruh topografi

LAMPIRAN C

KONDISI LINTASAN
BLOK CUNGFO





Gambar A.1. Lintasan A Pada Pita 39 Blok Cungfo Berada Diperkebunan Sawit



Gambar A.2. Pemasangan Elektroda Pada Lintasan A Blok Cungfo Berada Diperkebunan Sawit



Gambar B.1. Lintasan B Pada Pita 46 Blok Cungfo Berada Di Atas Tanah Galian



Gambar B.2. Lintasan B Pada Pita 63 Blok Cungfo Berada Diperkebunan Sawit



Gambar B.3. Kondisi Lintasan B Blok Cungfo Berada Diperkebunan Sawit



Gambar B.4. Lintasan B Pada Pita 17 Blok Cungfo Berada Diperkebunan Sawit



Gambar C.1. Lintasan C Pada Pita 93 Blok Cungfo Berada Diatas Tanah Galian



Gambar C.2. Kondisi Lintasan C Berada Diatas Tanah Galian Tambang



Gambar C.3. Lintasan C Pada Pita 85 Blok Cungfo Berada Diperkebunan Sawit



Gambar C.4. Lintasan C Pada Pita 74 Blok Cungfo Berada Didaerah Bekas Galian Tambang



Gambar C.5. Kondisi Lintasan C Berada Pada Daerah Tanah Bekas Galian Tambang



Gambar E.1. Lintasan E Pada Pita 29 Blok Cungfo Berada Diperkebunan Sawit



Gambar E.2. Lintasan E Pada Pita 39 Blok Cungfo Berada Diperkebunan Sawit

